

DOCUMENTACION COMPLEMENTARIA DE LA HOJA DE

LA ROBLA (13-08) 129

I.G.M.E.

DICIEMBRE, 1982



13-08/AD-LE-615.-

Detalle de los distintos tramos de la Formación Láncara.



13-08/AD-LE-629.-

Formación Santa Lucía. Obsérvese los tramos arrecifales al fondo, en esta Formación eminentemente carbonatada.



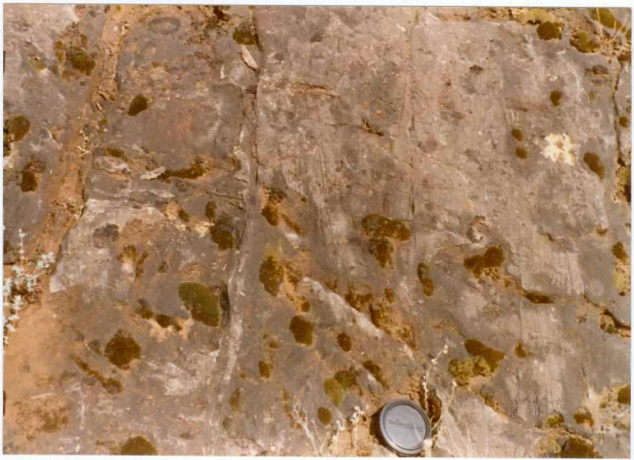
13-08/AD-LE-630.-

Panorámica en donde se destaca la falla subparalela a las formaciones, que hace desaparecer parte de la base del Devónico Superior. A la derecha Formación Santa Lucía, sobre ella la Formación Huergas, lutítica, e inmediatamente la barra arenosa de la Formación Nocedo.



13-08/AD-LE-631.-

Barra calcárea de la Formación Nocedo.



13-08/AD-LE-632.-

Detalle de la misma barra.- Obsérvese la laminación cruzada de bajo ángulo.



13-08/AD-LE-633.-

Hard-ground y conglomerados en la Formación Nocedo.



13-08/AD-LE-634.-

Aspecto del Devónico Superior (Formación Ermita) en el -
barranco de Santiago de las Villas. Al fondo la Formación Alba.



13-08/AD-LE-635.-

Barranco de Piedrasecha. Se observa en primer plano la Formación Ermita. Continúa la Formación Alba y por último la Formación Cuevas con las calizas de "Barcaliente" al fondo.



13-08/AD-LE-636.-

Detalle de la barra de areniscas (cuarcitas) de la Formación Ermita en esta localidad.



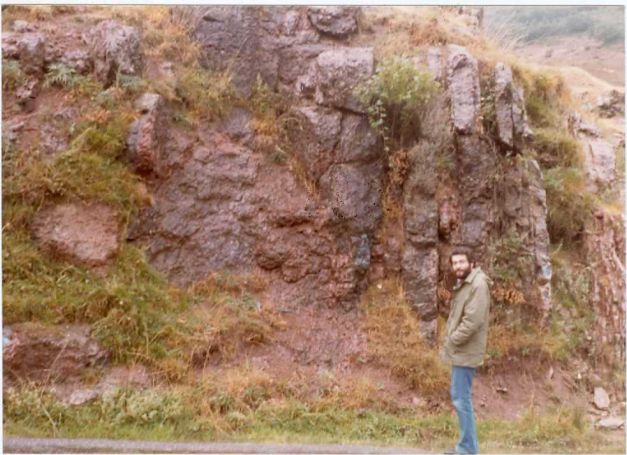
13-08/AD-LE-637.-

De izquierda a derecha se observa, la caliza de Baleares,
Formación Vegamián y la base de la caliza Griotte Carbonífera.



13-08/AD-LE-638.-

De izquierda a derecha se observan los tramos de calizas modulosas y calizas masivas (tramos 1 y 2) de la Griotte Carbonífera.



13-08/AD-LE-639.-

Tramos de caliza masiva y caliza tableada (tramos 2 y 3) de la Griotte Carbonífera.



13-08/AD-LE-640.-

Capas de Olaja (tramo 4) de la Griotte Carbonífera.



13-08/AD-LE-641.-

Aspecto de la Formación Alba en el barranco de Piedrasha.



13-08/AD-LE-642.-

La misma Formación Alba en Piedrasecha, vista desde la anterior situación.



13-08/AD-LE-643.-

La Formación Cuevas en el barranco de Piedrasecha. Obsérvese el carácter turbidítico y al fondo las calizas de "Barcaliente".



13-08/AD-LE-644.-

Panorámica de la base de la Formación Cuevas, turbidítica. En este punto fue definida la Formación Olleros, actualmente incluida en la Formación Cuevas.



13-08/AD-LE-645.-

Aspecto de la Formación Cuevas, subiendo en la serie, y
próxima a las calizas de la Formación Alba, calizas de facies
"Barcaliente".



13-08/AD-LE-646.-

Disposición de las calizas de la Formación Cuevas en el sinclinal de Alba. Obsérvese el plegamiento ~~the multiple layers~~ con pliegues parásitos, del sinclinal de Alba.



13-08/AD-LE-647.-

Detalle de la foto anterior.- Son evidentes las estructuras de acomodación en las charnelas de estos pliegues.



13-08/AD-LE-648.-

Calizas de la Formación Cuevas. Micritas negras tableadas.



13-08/AD-LE-649.-

La base de las calizas anteriores. Está constituida por brechas de cantos carbonatados, atribuible a turbiditas calcáreas. Las micritas negras de la foto anterior corresponderían a los depósitos de llanura abisal en cambio lateral de dichas turbiditas.



13-08/AD-LE-650.-

Microconglomerados con cemento carbonatado, polimixtico, con cantos abundantes de lidita, situado en el sinclinal de Alba. Es posible que se trate de Formaciones superiores a la Formación Cuevas.



13-08/AD-LE-651.-

Facies de debris-flows rojas, en la base del Estefanien-
se que aflora en la carretera La Magdalena-Villablino.



13-08/AD-LE-652.-

Canal de conglomerados en el Estefaniense en dicha carretera.

NO SITUADA
EN EL PLANO



13-08/AD-LE-653.-

Complejo de canales en dicha carretera.- Obsérvese la es-
tratificación cruzada en surco en las areniscas y el canal de
conglomerados erosionando el ciclo anterior.



13-08/AD-LE-654.-

Vista panorámica de la Formación Utrillas, y de la Formación Vegaquemada al Norte de Rioseco de Tapia.

NO SITUADA
EN EL PLANO



13-08/AD-LE-655.-

Detalle de la Formación Utrillas en dicha localidad.



13-08/AD-LE-666.-

Vista de las arenas versicolores de la Formación Utrillas en el Valle de Olleros de Alba al Este de dicho pueblo.



13-08/AD-LE-667.-

La Formación Vegaquemada en las canteras próximas al pue
blo de Sórribos. Obsérvese los conglomerados verticalizados.



13-08/AD-LE-668.-

El contacto Subhorizontal de la Formación Candanedo y los abanicos silíceos superiores, marcado por lutitas carbonatadas y suelos calcimorfos blanquecinos, en los sectores meridionales de la Hoja.



13-08/AD-LE-669.-

Vista panorámica de los Abanicos Terciarios desde el pico La Carva (sector centro-norte).



13-08/AD-LE-601.-

Precámbrico del Anticlinorio del Narcea, zona más psamítica, con esquistosidad subparalela a la So y plegada por fases tardías.



13-08/AD-LE-602.-

Detalle de la foto anterior, donde se observa el carácter turbidítico.



13-08/AD-LE-603.-

Pliegues en el Precámbrico, correspondientes a la 1^a fase. De las observaciones regionales, se deduce, que los pliegues singenéticos con la esquistosidad regional, tienen la misma geometría que los de esta foto a escala métrica. Son pliegues similares, asimétricos y convergencia Norte.



13-08/AD-LE-604.-

Detalle de la foto anterior, en donde se observa la relación esquisitosidad-estratificación. Es de plano axial y convergente en las charnelas.



13-08/AD-LE-605.-

Disposición facing-down en la carretera de La Magdalena a Villablino. La relación esquistosidad-estratificación indican techo a la derecha de la foto. Las estructuras sedimentarias indican techo a la izquierda de la foto.

13-08/AD-LE-606.-

Aspecto del Precámbrico en el contacto con el Cámbrico. Carretera La Magdalena a Villablino.





13-08/AD-LE-607.-

Foto tomada a la derecha de la anterior.- El geólogo señala el contacto Cámbrico (derecha) Precámbrico (izquierda). Obsérvese la discordancia angular entre ambos sistemas.



13-08/AD-LE-608.-

Detalle de la foto anterior, donde se aprecia el conglomerado de base del Cámbrico.



13-08/AD-LE-609.-

Aspecto del Cándana-Herrería en la zona Asturoccidental-Leonesa. (Sector de Ordás).



13-08/AD-LE-610.-

Detalle de la foto anterior. Obsérvese la disposición de la esquistosidad en los tramos pelíticos.



13-08/AD-LE-611.-

Cándana-Herrería en la zona Cantábrica. Estratificaciones cruzadas de bajo ángulo.



13-08/AD-LE-612.-

Detalle de areniscas ferruginosas con estratificación cruzada plana en la misma formación.

13-08/AD-IE-613.-

Crescent-mark en el muro de las areniscas de la Herrería.





13-08/AD-LE-614.-

Panorámica de la Formación Láncara. Obsérvese la depresión en el relieve, típica de esta formación.



13-08 /AD-LE-616.-

Tramo superior de la Formación Láncara (Griotte del Lán-cara).



13-08/AD-LE-617.-

Aspecto de las cuarcitas de la Formación Barrios.



13-08/AD-LE-618:-

Detalle de la Formación Barrios.- Puede observarse la laminación paralela y la estratificación cruzada plana de bajo ángulo.



13-08/AD-LE-619.-

Lumaquela en la serie de tránsito; atribuída al Ordovícico medio-superior.



13-08/AD-LE-620.-

Tramo turbidítico del Ordovícico Superior. Estos sedimentos son suprayacentes a los de la foto anterior.

13-08/AD-LE-621.-

Formación Formigoso en el Barranco de Piedrasecha.- Este afloramiento ha proporcionado fauna de Graptolites.





13-08/AD-LE-622.-

Base de la Formación San Pedro.- Areniscas rojas, a veces oolíticas.



13-08/AD-LE-623.-

Aspecto de los resalte^s morfológicos de las areniscas ferruginosas de la Formación S. Pedro.

13-08/AD-IE-624.-



Ripples en la Formación San Pedro. Son de tipo ligüoide al techo de un banco de areniscas.



13-08/AD-LE-625.-

Detalle de la foto anterior.



13-08/AD-LE-626.-

Panorámica de la Formación La Vid.- De izquierda a derecha puede distinguirse a grandes rasgos el tramo carbonatado de base (calcoesquisto) y el tramo lutítico (depresión del relieve). Formación Calizas de Santa Lucía a la derecha.



13-08/AD-LE-627.-

Tramo superior de la Formación La Vid.- Obsérvese su constitución lutítica con intercalaciones de lumaquelas decimétricas.



13-08/AD-LE-628.-

Estromatolitos métricos en el tramo superior de la Formación La Vid.